

# FCD620N60ZF

## N 沟道 SuperFET® II FRFET® MOSFET

600 V、7.3 A、620 mΩ

### 特性

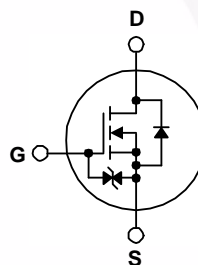
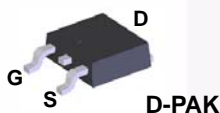
- 650 V @  $T_J = 150^\circ\text{C}$
- 典型值  $R_{DS(on)} = 528\text{ m}\Omega$
- 超低栅极电荷 (典型值  $Q_g = 20\text{ nC}$ )
- 低有效输出电容 (典型值  $C_{oss(eff.)} = 71\text{ pF}$ )
- 100% 经过雪崩测试
- 提高静电放电保护能力
- 符合 RoHS 标准

### 说明

SuperFET® II MOSFET 是飞兆半导体新一代利用电荷平衡技术实现出色低导通电阻和更低栅极电荷性能的高压超级结 (SJ) MOSFET 系列产品。这项技术专用于最小化导通损耗并提供卓越的开关性能、dv/dt 额定值和更高雪崩能量。因此, SuperFET MOSFET 非常适合开关电源应用, 如功率因数校正 (PFC)、服务器 / 电信电源、平板电视电源、ATX 电源及工业电源应用。SuperFET II FRFET® MOSFET 优化体二极管的反向恢复性能可去除额外元件并提高系统可靠性。

### 应用

- LCD / LED / PDP 电视和显示器照明
- 太阳能逆变器 / AC-DC 电源



### 绝对最大额定值 $T_C = 25^\circ\text{C}$ 除非另有说明

符号	参数	FCD620N60ZF	单位
$V_{DSS}$	漏极-源极电压	600	V
$V_{GSS}$	栅极-源极电压	- DC	$\pm 20$
		- AC ( $f > 1\text{ Hz}$ )	$\pm 30$
$I_D$	漏极电流	- 连续 ( $T_C = 25^\circ\text{C}$ )	7.3
		- 连续 ( $T_C = 100^\circ\text{C}$ )	4.6
$I_{DM}$	漏极电流	21.9	A
$E_{AS}$	单脉冲雪崩能量	135	mJ
$I_{AR}$	雪崩电流	1.5	A
$E_{AR}$	重复雪崩能量	0.89	mJ
dv/dt	MOSFET dv/dt	100	V/ns
	二极管恢复 dv/dt 峰值	20	
$P_D$	功耗	( $T_C = 25^\circ\text{C}$ )	89
		- 降低至 $25^\circ\text{C}$ 以上	0.71
$T_J, T_{STG}$	工作和存储温度范围	-55 至 +150	$^\circ\text{C}$
$T_L$	用于焊接的最大引线温度, 距离外壳 1/8", 持续 5 秒	300	$^\circ\text{C}$

### 热性能

符号	参数	FCD620N60ZF	单位
$R_{\theta JC}$	结至外壳热阻最大值	1.4	$^\circ\text{C/W}$
$R_{\theta JA}$	结至环境热阻最大值	100	

## 封装标识与订购信息

器件编号	顶标	封装	包装方法	卷尺寸	带宽	数量
FCD620N60ZF	FCD620N60ZF	DPAK	卷带	330 mm	16 mm	2500 个

电气特性  $T_C = 25^\circ\text{C}$  除非另有说明

符号	参数	测试条件	最小值	典型值	最大值	单位
----	----	------	-----	-----	-----	----

## 关断特性

$BV_{DSS}$	漏极-源极击穿电压	$V_{GS} = 0\text{ V}, I_D = 10\text{ mA}, T_J = 25^\circ\text{C}$	600	-	-	V
		$V_{GS} = 0\text{ V}, I_D = 10\text{ mA}, T_J = 150^\circ\text{C}$	650	-	-	
$\Delta BV_{DSS} / \Delta T_J$	击穿电压温度系数	$I_D = 10\text{ mA}$ , 参考温度为 $25^\circ\text{C}$	-	0.6	-	$V/^\circ\text{C}$
$BV_{DS}$	漏源极雪崩击穿电压	$V_{GS} = 0\text{ V}, I_D = 7.3\text{ A}$	-	700	-	V
$I_{DSS}$	零栅极电压漏极电流	$V_{DS} = 480\text{ V}, V_{GS} = 0\text{ V}$	-	-	5	$\mu\text{A}$
		$V_{DS} = 480\text{ V}, T_C = 125^\circ\text{C}$	-	-	20	
$I_{GSS}$	栅极-体漏电流	$V_{GS} = \pm 20\text{ V}, V_{DS} = 0\text{ V}$	-	-	$\pm 10$	$\mu\text{A}$

## 导通特性

$V_{GS(th)}$	栅极阈值电压	$V_{GS} = V_{DS}, I_D = 250\ \mu\text{A}$	3	-	5	V
$R_{DS(on)}$	漏极至源极静态导通电阻	$V_{GS} = 10\text{ V}, I_D = 3.6\text{ A}$	-	0.528	0.62	$\Omega$

## 动态特性

$C_{iss}$	输入电容	$V_{DS} = 25\text{ V}, V_{GS} = 0\text{ V}, f = 1\text{ MHz}$	-	855	1135	pF
$C_{oss}$	输出电容		-	625	830	
$C_{rss}$	反向传输电容		-	30	45	
$C_{oss}$	输出电容	$V_{DS} = 380\text{ V}, V_{GS} = 0\text{ V}, f = 1\text{ MHz}$	-	16	-	pF
$C_{oss(eff.)}$	有效输出电容	$V_{DS} = 0\text{ V to } 480\text{ V}, V_{GS} = 0\text{ V}$	-	71	-	pF
$Q_{g(tot)}$	10 V 的栅极电荷总量	$V_{DS} = 380\text{ V}, I_D = 3.6\text{ A}, V_{GS} = 10\text{ V}$	-	20	36	nC
$Q_{gs}$	栅极-源极栅极电荷		-	4.5	-	
$Q_{gd}$	栅极-漏极“米勒”电荷 (说明 4)		-	7.7	-	
ESR	等效串联电阻	$f = 1\text{ MHz}$	-	2.7	-	$\Omega$

## 开关特性

$t_{d(on)}$	导通延迟时间	$V_{DD} = 380\text{ V}, I_D = 3.6\text{ A}, V_{GS} = 10\text{ V}, R_g = 4.7\ \Omega$	-	15	40	ns
$t_r$	开通上升时间		-	7	24	
$t_{d(off)}$	关断延迟时间		-	35	80	
$t_f$	关断下降时间 (说明 4)		-	10	30	

## 漏极-源极二极管特性

$I_S$	漏极-源极二极管最大正向连续电流	-	-	7.3	A	
$I_{SM}$	漏极-源极二极管最大正向脉冲电流	-	-	21.9	A	
$V_{SD}$	漏极-源极二极管正向电压	$V_{GS} = 0\text{ V}, I_{SD} = 3.6\text{ A}$	-	-	1.2	V
$t_{rr}$	反向恢复时间	$V_{GS} = 0\text{ V}, I_{SD} = 3.6\text{ A}$	-	84	-	ns
$Q_{rr}$	反向恢复电荷	$di/dt = 100\text{ A}/\mu\text{s}$	-	0.325	-	$\mu\text{C}$

## 注意:

1. 重复额定值: 脉冲宽度受限于最大结温。
2.  $I_{AS} = 1.5\text{ A}, V_{DD} = 50\text{ V}, R_G = 25\ \Omega$ , 启动  $T_J = 25^\circ\text{C}$ 。
3.  $I_{SD} \leq 3.6\text{ A}, di/dt \leq 200\text{ A}/\mu\text{s}, V_{DD} \leq BV_{DSS}$ , 启动  $T_J = 25^\circ\text{C}$ 。
4. 本质上独立于工作温度的典型特性。

## 典型性能特征

图 1. 通态区域特性

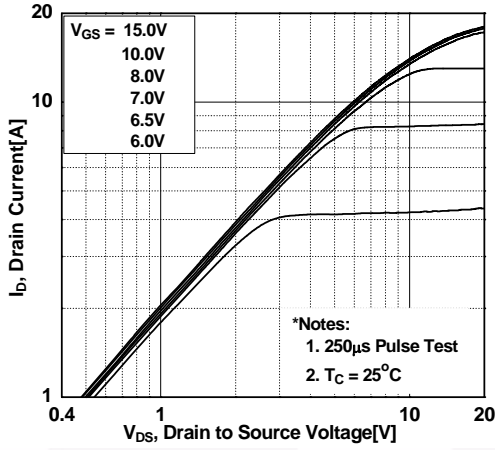


图 2. 传输特性

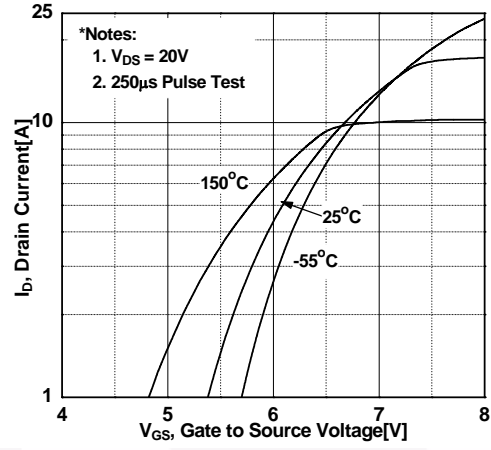


图 3. 导通电阻变化与漏极电流和栅极电压

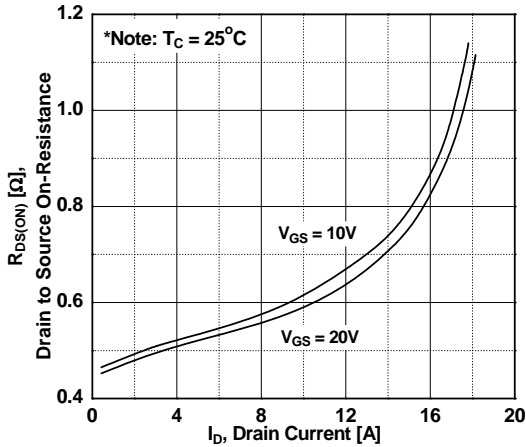


图 4. 体二极管正向电压变化与源极电流和温度

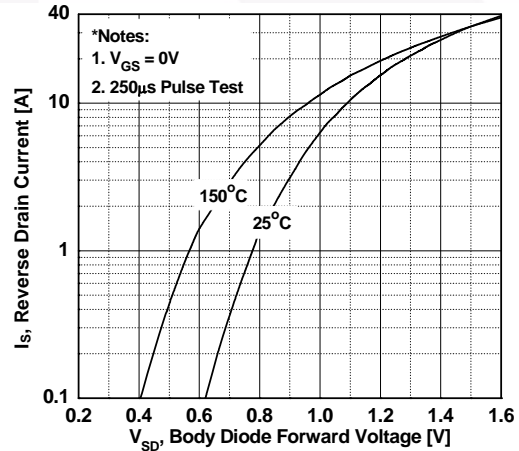


图 5. 电容特性

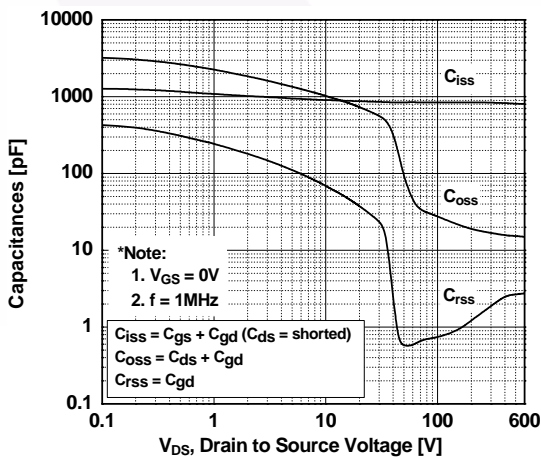
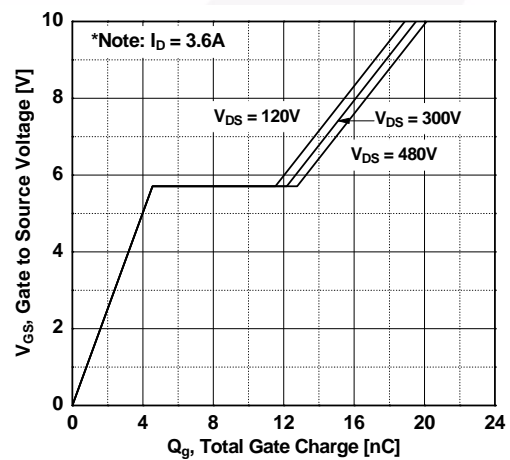


图 6. 栅极电荷特性



典型性能特征 (接上页)

图 7. 击穿电压变化与温度

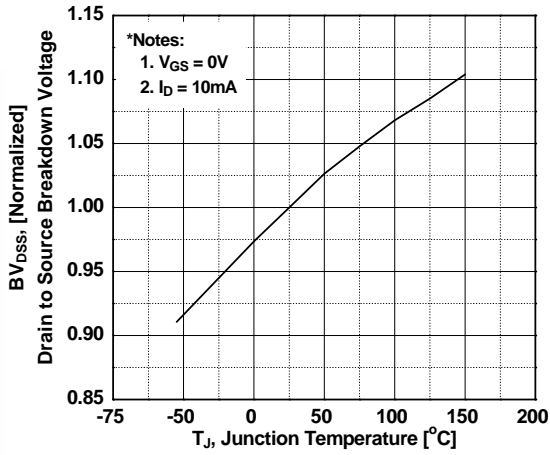


图 8. 导通电阻变化与温度

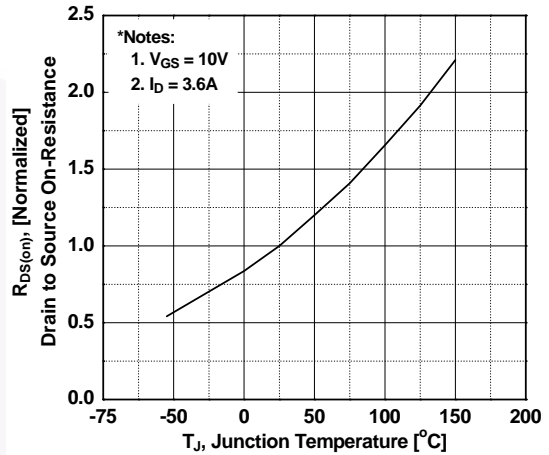


图 9. 最大安全工作区

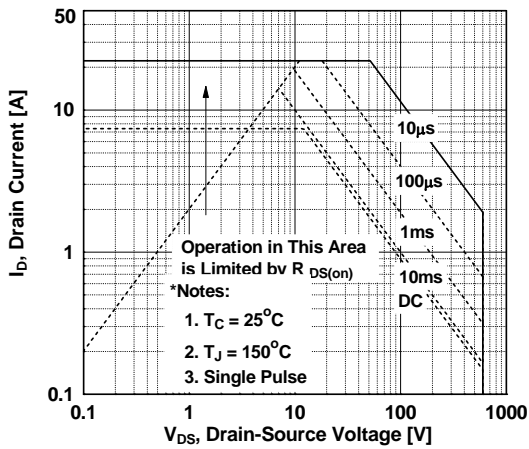


图 10. 最大漏极电流与外壳温度

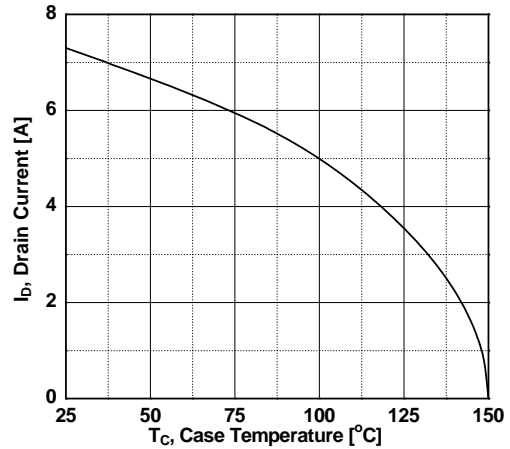
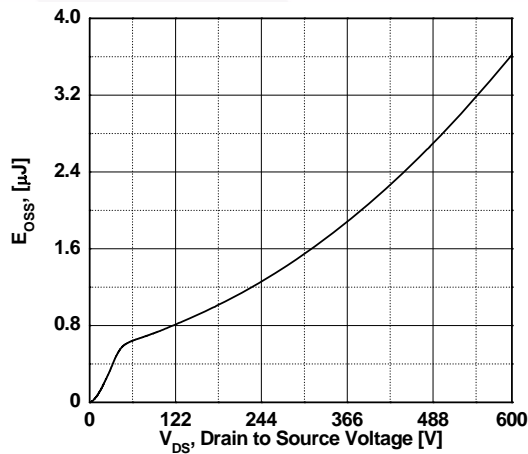
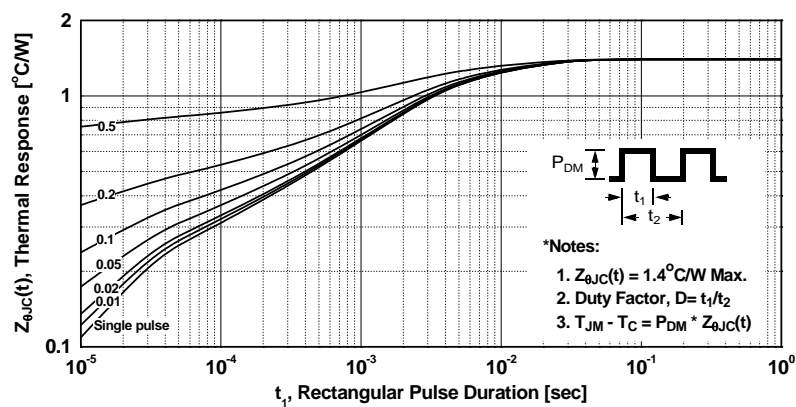


图 11. E\_oss 与漏极 - 源极电压的关系



典型性能特征 (接上页)

图 12. 瞬态热响应曲线



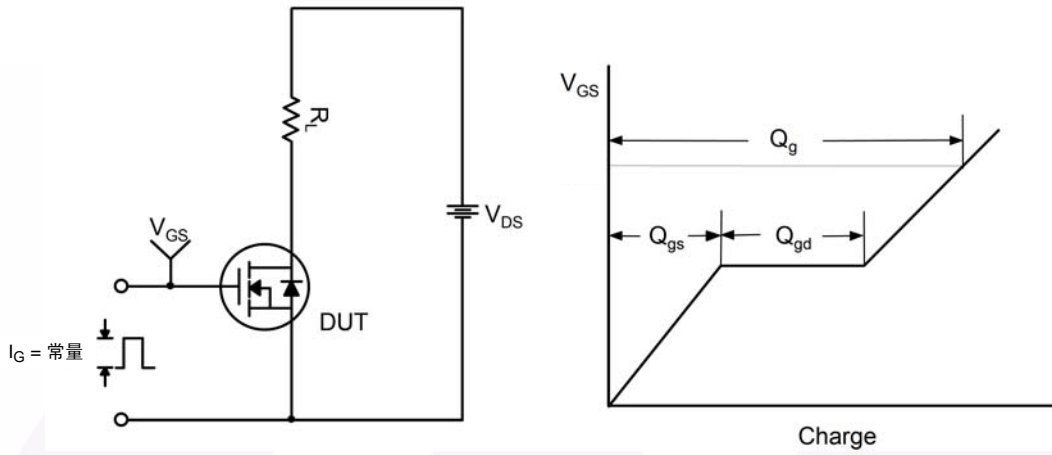


图 13. 栅极电荷测试电路与波形

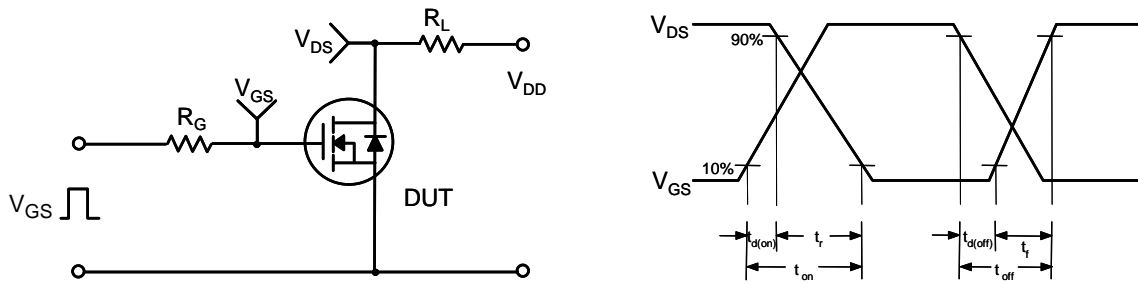


图 14. 阻性开关测试电路与波形

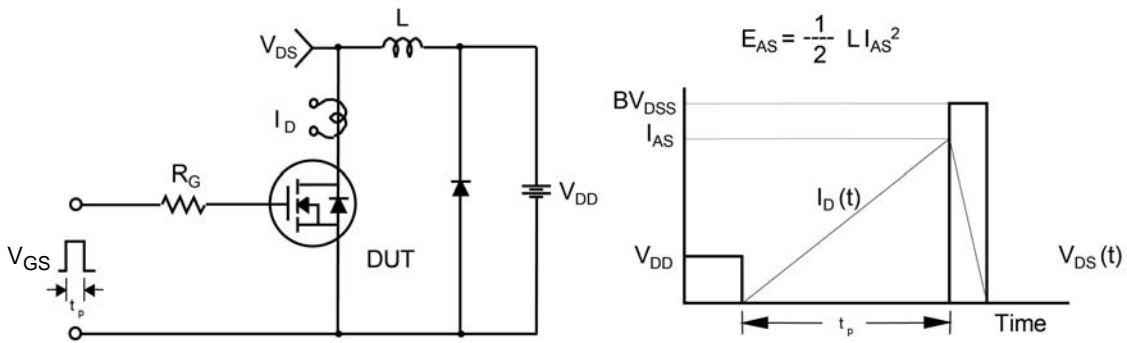


图 15. 非箝位电感开关测试电路与波形

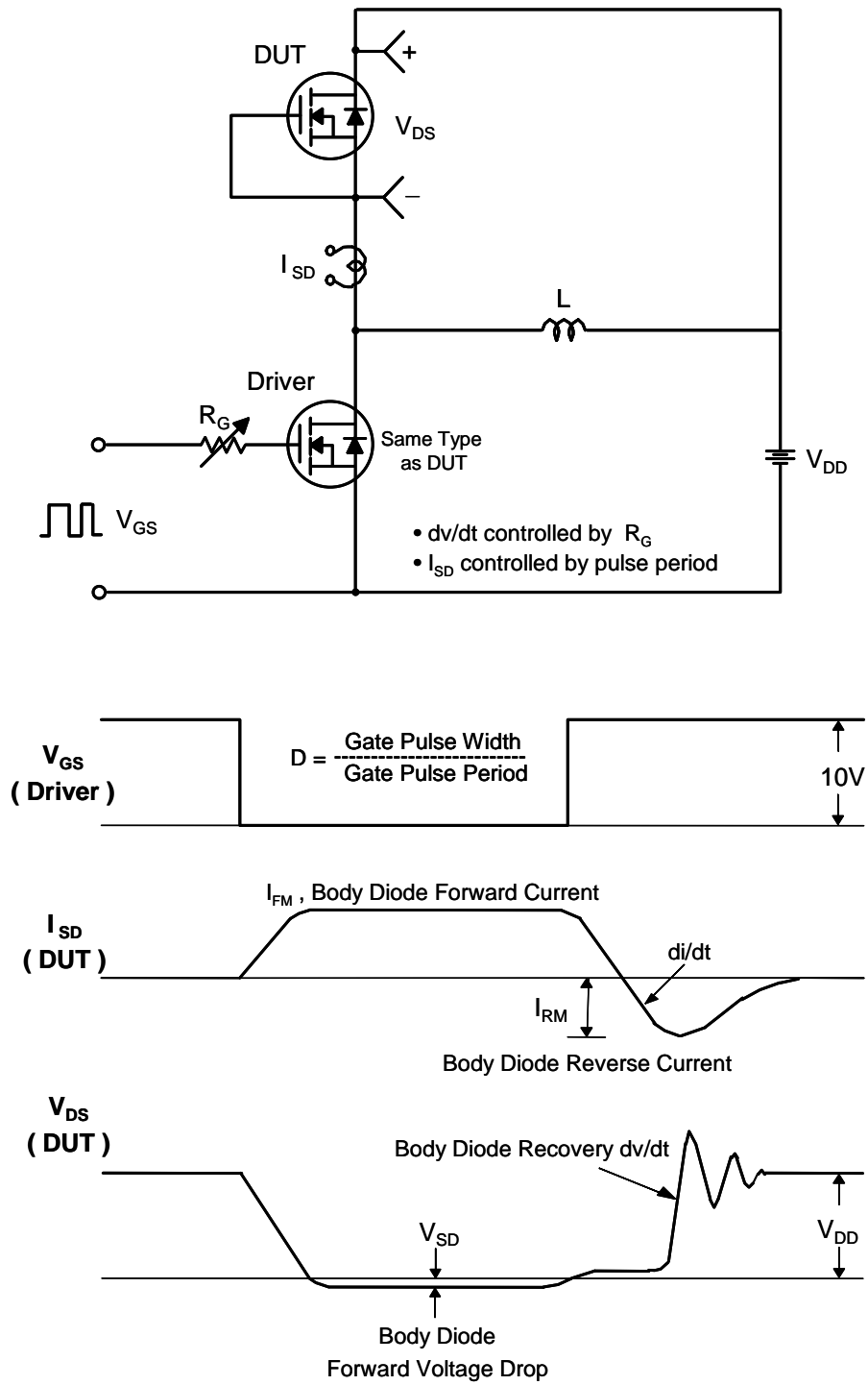
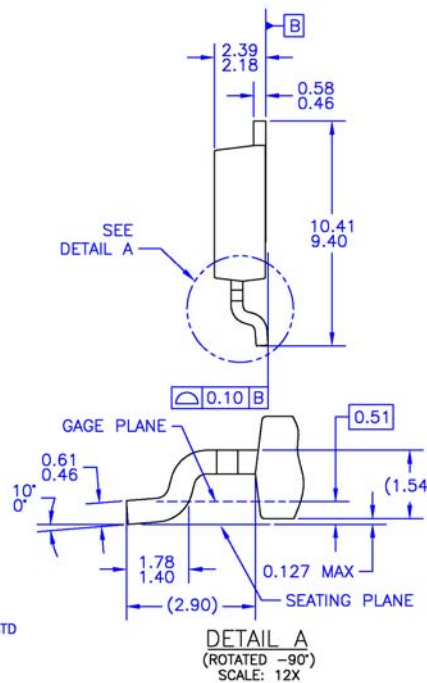
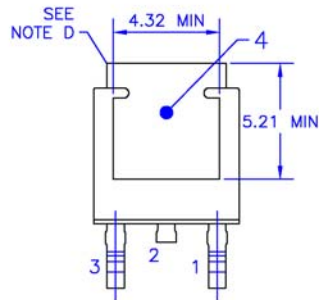
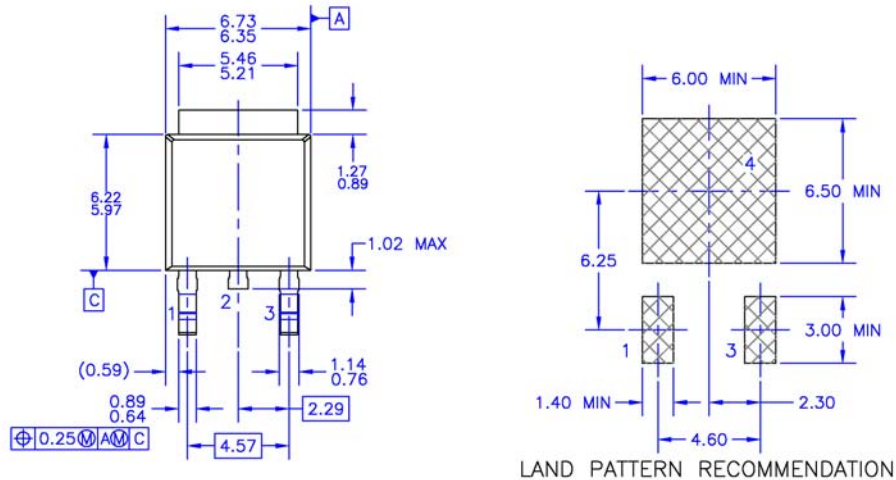


图 16. 二极管恢复  $dv/dt$  峰值测试电路与波形

## 机械尺寸



- NOTES: UNLESS OTHERWISE SPECIFIED
- A) THIS PACKAGE CONFORMS TO JEDEC, TO-252, ISSUE C, VARIATION AA.
  - B) ALL DIMENSIONS ARE IN MILLIMETERS.
  - C) DIMENSIONING AND TOLERANCING PER ASME Y14.5M-1994.
  - D) HEAT SINK TOP EDGE COULD BE IN CHAMFERED CORNERS OR EDGE PROTRUSION.
  - E) PRESENCE OF TRIMMED CENTER LEAD IS OPTIONAL.
  - F) DIMENSIONS ARE EXCLUSIVE OF BURRS, MOLD FLASH AND TIE BAR EXTRUSIONS.
  - G) LAND PATTERN RECOMMENDATION IS BASED ON IPC3351A STD TO220P1003X238-3N.
  - H) DRAWING NUMBER AND REVISION: MKT-T0252A03REV8

图 17. TO252 (D-PAK), 模塑, 3 引脚, 选项 AA&AB

封装图纸作为一项服务, 提供给考虑飞兆半导体元件的客户。具体参数可能会有变化, 且不会做出相应通知。请注意图纸上的版本和 / 或日期, 并联系飞兆半导体代表核实或获得最新版本。封装规格并不扩大飞兆公司全球范围内的条款与条件, 尤其是其中涉及飞兆公司产品保修的部分。

随时访问飞兆半导体在线封装网页, 可以获取最新的封装图纸:

[http://www.fairchildsemi.com/package/packageDetails.html?id=PN\\_TT252-003](http://www.fairchildsemi.com/package/packageDetails.html?id=PN_TT252-003)

